

**TEKUK TORSI LATERAL ELASTIS
BALOK NON PRISMATIS DENGAN
METODA BEDA HINGGA**

TESIS



NENNY SAMUDRA

NPM : 2007831046

684 - 18
SAM
t



**PROGRAM STUDI MAGISTER TEKNIK SIPIL
UNIVERSITAS KATOLIK PARAHYANGAN
BANDUNG**

2011

131307 T / PNS

19 . 11 . 11 .

TEKUK TORSI LATERAL ELASTIS BALOK NON PRISMATIS DENGAN METODA BEDA HINGGA

NENNY SAMUDRA

NPM : 2007831046

PERSETUJUAN TESIS

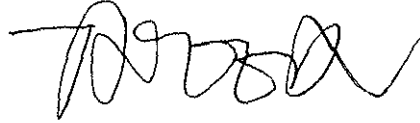
Penguji merangkap Pembimbing:
(Dr. Paulus Karta Wijaya, Ir., MT.)


.....

Penguji:
(Prof. Bambang Suryoatmono, Ph.D.)


.....

Penguji:
(Dr. Johannes Adhijoso Tjondro, Ir., MT.)



PERNYATAAN

Yang bertandatangan di bawah ini, saya dengan data diri sebagai berikut:

Nama : Nenny Samudra

Nomor Pokok Mahasiswa : 2007831046

Program Studi : Magister Teknik Sipil

Program Pascasarjana

Universitas Katolik Parahyangan Bandung

Menyatakan bahwa tesis yang berjudul:

“TEKUK TORSI LATERAL ELASTIS BALOK NON PRISMATIS DENGAN METODA BEDA HINGGA” adalah benar-benar karya saya sendiri dibawah bimbingan Pembimbing, dan saya tidak melakukan penjiplakan atau pengutipan dengan cara-cara yang tidak sesuai dengan etika keilmuan yang berlaku dalam masyarakat keilmuan.

Apabila di kemudian hari ditemukan adanya pelanggaran terhadap etika keilmuan dalam karya saya, atau jika ada tuntutan formal atau non formal dari pihak lain berkaitan dengan keaslian karya saya ini, saya siap menanggung segala resiko, akibat, dan/atau sanksi yang dijatuhkan kepada saya, termasuk pembatalan gelar akademik yang saya peroleh dari Universitas Katolik Parahyangan Bandung.

Dinyatakan : di Bandung

Tanggal : 1 Agustus 2011



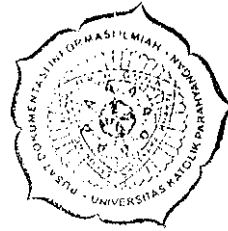
Nenny Samudra

TEKUK TORSI LATERAL ELASTIS BALOK NON PRISMATIS DENGAN METODA BEDA HINGGA

Nenny Samudra

NPM: 2007831046

Pembimbing:
Dr.Paulus Karta Wijaya, Ir., MT.



UNIVERSITAS KATOLIK PARAHYANGAN

PROGRAM STUDI MAGISTER TEKNIK SIPIL

(Terakreditasi Berdasarkan SK BAN-PT No: 017/BAN-PT/Ak-VI/S2/XI/2008)

BANDUNG

JULI 2011

ABSTRAK

Dalam suatu balok baja untuk menghitung momen kritis elastis, sering kali dibuat balok non prismatis untuk meminimalkan berat struktur agar struktur lebih efisien. Bilamana balok tersebut tidak mempunyai tumpuan lateral, maka balok tersebut akan mengalami tekuk torsional. Untuk balok prismatic, di AISC telah tersedia penyelesaian untuk mendapatkan momen kritis, tetapi untuk balok non prismatic belum didapat suatu persamaan untuk menghitung besarnya momen kritis tersebut. Penelitian ini merupakan studi untuk menghitung besarnya momen kritis tekuk torsional pada suatu balok baja non prismatic. Momen kritis dihitung berdasarkan variasi panjang balok dan ketidakprismatisan balok, dimana ketidakprismatisan yang ditinjau adalah tinggi web yang berubah secara linier, sementara tebal web, tebal maupun lebar flens konstan. Untuk itu digunakan metoda beda hingga untuk menghitung momen kritis untuk berbagai pola pembebanan (yaitu beban berupa momen ujung yang bervariasi secara linier, beban terpusat di tengah bentang dan beban merata sepanjang bentang balok). Selain itu juga dihitung perbandingan momen kritis balok non prismatic terhadap momen kritis balok prismatic. Dari hasil analisa dapat disimpulkan bahwa nilai momen kritis pada balok non prismatic, diperoleh lebih kecil dari nilai momen kritis balok prismatic dimana ketinggian web balok prismatic sama dengan tinggi web terbesar dari balok non prismatic. Besarnya momen kritis balok non prismatic dipengaruhi oleh kemiringan balok non prismatic dan pola pembebanan, tetapi tidak dipengaruhi oleh panjang balok. Selain itu didapatkan persamaan praktis untuk mendapatkan besarnya momen kritis balok non prismatic.

Kata kunci: balok non prismatic, beda hingga, tekuk torsional elastis, momen kritis

ELASTIC LATERAL TORSIONAL BUCKLING OF NON PRISMATIC BEAM WITH FINITE DIFFERENCE METHOD

Nenny Samudra

NPM: 2007831046



Advisor: Dr.Paulus Karta Wijaya, Ir., MT.

PARAHYANGAN CATHOLIC UNIVERSITY DEPARTMENT OF CIVIL ENGINEERING MASTER DEGREE

(Accredited by Keputusan BAN-PT No: 017/BAN-PT/Ak-VI/S2/XI/2008)

BANDUNG

JULY 2011

ABSTRACT

K N YRYN 2TN T NYYP BTp oTN Y YRC N RYNYU
IY N MUYg p o MY Ypmnb nY Tb Y2XckToY
TMY YE RYN U Y nN YN Y N n RYEN N N
dgy N Y N dR TN For mHmatic beams, AISC has an equation
for calculating the critical moment ,but has not any equation for non-prismatic beams.

$\frac{r}{w} = \frac{t}{wt} = \frac{t}{w trd} = \frac{t}{wa} = \frac{w}{ws}$
 $t = \frac{t}{t} = \frac{t}{t} = \frac{t}{w t ws} = \frac{f}{t} = \frac{w}{t, cw} = \frac{w}{t}$
 $t = \frac{t}{t} = \frac{t}{t} = \frac{w}{w} = \frac{S}{Fgrt} = \frac{t}{t} = \frac{wt}{n}$
 $w t = \frac{t}{t} = \frac{t}{w} = \frac{as}{t} = \frac{t}{t} = \frac{wt}{n}$
 $t t = \frac{t}{t} = \frac{t}{w} = \frac{as}{t} = \frac{t}{t} = \frac{wt}{n}$
 $w t is smaller than the value of the critical moments of prismatic beams with web height equal to the height of the largest web of non-prismatic beam.$
 $w t = \frac{t}{t} = \frac{t}{w} = \frac{as}{t} = \frac{t}{t} = \frac{wt}{n}$
 $w t Alkb has been obtained a practical equation to determine the critical moments of w t = \frac{t}{t} = \frac{t}{w} = \frac{as}{t} = \frac{t}{t} = \frac{wt}{n}$

$q = \frac{m wt}{t} = \frac{w t}{g} = \frac{S}{t} = \frac{t}{w t} = \frac{S}{t}$

PRAKATA

Segala puji hormat, syukur dan kemuliaan bagi Tuhan Yesus Kristus hanya karena anugerah, kemurahan, cintaNya dan kekuatan yang diberikan olehNya , sehingga penelitian ini dapat diselesaikan.

Tesis dengan judul : “ TEKUK TORSI LATERAL ELASTIS BALOK NON PRISMATIS DENGAN METODA HINGGA” ini merupakan hasil penelitian yang disusun dalam rangka penyelesaian studi di program S-2 Universitas Katolik Parahyangan Bandung.

Hal ini boleh terjadi karena adanya dukungan, bimbingan dan dorongan semangat dari berbagai pihak. Oleh sebab itu penulis menyampaikan terimakasih terutama kepada:

1. Bapak Dr. Paulus Karta Wijaya, Ir., MT., selaku dosen pembimbing yang telah sabar membimbing, menyediakan banyak waktu, tenaga dan pikirannya serta memberi masukan dalam penelitian ini.
2. Bapak Prof. Bambang Suryoatmono, Ph.D., selaku dosen penguji yang telah memberi masukan dan saran yang berharga untuk penyusunan tesis ini.
3. Bapak Dr. Johannes Adhijoso Tjondro, selaku dosen penguji yang telah memberi masukan dan saran yang berharga untuk penyusunan tesis ini.
4. Bapak Aloysius Tjan, Ph.D., yang telah memberikan dukungan dan semangat hingga penelitian ini dapat diselesaikan.
5. Suamiku tersayang Ir. Budianto Tanubrata yang telah memberikan doa, perhatian dan dukungan selama ini dan anak-anakku yang manis Daniel Tanubrata dan Claudia Tanubrata.
6. Papa, Mama yang tercinta dan adikku terkasih atas dukungan doa dan harapannya.

FiK Semua teman-teman dosen di Fakultas Teknik Sipil Unpar yang telah memberikan motivasi, semangat dan dukungan doanya.

8. Semua teman-teman persekutuan doa atas perhatian dan semangat yang diberikan.

Penulis menyadari bahwa masih banyak kekurangan dalam penyusunan tesis ini mengingat keterbatasan waktu dan kemampuan penulis, oleh karena itu Penulis mengharapkan masukan dan saran untuk melengkapi penelitian ini. Penulis berharap semoga penelitian ini dapat bermanfaat bagi pihak yang membacanya.

Bandung, BBWBAIW



Nenny Samudra

N NWAAIBAEGW

DAFTAR ISI



ABSTRAK	i
<i>ABSTRACT .</i>	ii
PRAKATA	iii
DAFTAR ISI	iv
DAFTAR NOTASI DAN SINGKATAN	ix
DAFTAR GAMBAR	xii
DAFTAR TABEL	xviii
DAFTAR LAMPIRAN	xxv
BAB 1 PENDAHULUAN	1
,,.a Latar Belakang Penelitian	1
M5d Canti Permasalahan	• • •
• • • Tujuan Penelitian	• • •
• • • Dembatasan Masalah	• • •
• • • Metoda Penelitian	• • •
BAB B STUDI PUSTAKA	• • •
• • • Ragam Kegagalan Sebuah Balok	• • •
• • • Penampang Kompak, non Kompak dan Langsing	• • •
• • • Panjang Bentang Tak Terkekang	• • •
gien Tekuk Torsi Lateral	• • •
• • • Pengaruh Lokasi Pembebanan	• • •

Momen Kritis untuk LTB Balok Prismatis Pada Penampang Profil
Sayap Lebar • • • • • • • • • • • • • • • • • • •

• • • • **P**eramaan Differensial Untuk Momen Konstan • • •

• • • **P**enyelesaian untuk Momen Konstan ... • • ..

• • • **P**enyelesaian untuk Momen Tidak Konstan .. • .. • ..

BAB I STUDI KASUS TEKUK TORSI LATERAL ELASTIS

DENGAN METODA BEDA HINGGA • • • ..

• • • **P**andahuluan

• • • **M**etode Beda Hingga

• • • **F**ormulasi Beda Hingga Turunan Fungsi

• • • **P**enyelesaian Beda Hingga untuk Momen Konstan

Balok Prismatis • .. • .. • .. • .. • .. • ..

• • • **P**enyelesaian Beda Hingga untuk Momen Tidak Konstan

Balok Prismatis

• • • **B**eban Terpusat di tengah bentang balok

• • • **B**eban Merata Sepanjang Bentang Balok

• • • **B**eban Momen Pada Kedua Ujung Balok

• • • **P**enyelesaian Beda Hingga untuk Momen Tidak Konstan

Balok non Prismatis

BAB IV ANALISA STUDI KASUS

• • • **A**nalisis dengan Metoda Beda Hingga

• • • **B**eban Momen Konstan Sepanjang Bentang Untuk

Balok Prismatis.....

Beban Momen Tidak Konstan Untuk Balok Prismatis	●●●●●
• • • Beban Terpusat Ditengah Bentang Untuk Balok Prismatis ...	●●●●●
• • • Beban Merata Sepanjang Bentang Untuk Balok Prismatis	●●●●●
• • • Beban Momen pada kedua ujung balok dengan kondisi $M-\beta M$ untuk Balok Prismatis	●●●●●
• • • Beban Momen Konstan Sepanjang Bentang Untuk Balok Non Prismatis ..	●●●●●
• • • Beban Momen Tidak Konstan Untuk Balok Non Prismatis ..	●●●●●
• • • Beban Terpusat Ditengah Bentang Balok Untuk Balok Non Prismatis ..	●●●●●
• • • Beban Merata Sepanjang Bentang Balok Untuk Balok non Prismatis.....	●●●●●
• • • Beban Momen pada kedua ujung balok dengan kondisi $M-\beta M$ untuk Balok Non Prismatis ..	●●●●●
• • • Persamaan praktis untuk mendapatkan besarnya momen kritis balok non prismatis	l _{2.7}
,,, _{72.7} Persamaan momen kritis untuk balok non prismatis akibat Momen Konstan	●●●●●
• • • Persamaan momen kritis untuk balok non prismatis Akibat Beban Terpusat di tengah bentang.....	●●●●●●●●●

4.6.3 Persamaan momen kritis untuk balok non prismatis	
Akibat Momen Merata	● ● ● ● + ●
4.6.4 Persamaan momen kritis untuk balok non prismatis	
akibat beban momen ujung dengan distribusi	
momen lentur yang bervariasi secara linier	120
4.7 Ringkasan	122
BAB V KESIMPULAN DAN SARAN.....	132
5.1 Kesimpulan	132
5.2 Saran	133
DAFTAR PUSTAKA	● ● ●
LAMPIRAN	135

DAFTAR NOTASI DAN SINGKATAN

A	= luas penampang profil sayap lebar
C_b	= faktor momen ekivalen / faktor kemiringan momen
C_p	= rasio momen kritis balok non prismatis dibandingkan dengan momen kritis balok prismatis
C_w	= konstanta pilin
E	= modulus elastisitas
F_y	= tegangan leleh baja
G	= modulus geser
I_x	= momen inersia terhadap sumbu kuat
I_y	= momen inersia terhadap sumbu lemah
J	= konstanta torsi
L	= panjang balok
L_b	= panjang tak terkekang
L_p	= batas panjang maksimum balok agar balok tidak mengalami <i>LTB</i>
L_r	= batas panjang minimum balok agar balok mengalami <i>LTB</i>
$+gC$	= nilai absolut dari momen di titik 1/4 bentang tak terkekang
l_{jr}	= nilai absolut dari momen di titik 1/2 bentang tak terkekang
l_{lr}	= nilai absolut dari momen di titik 3/4 bentang tak terkekang
M_{ci}	= momen kritis balok non prismatis

- $=$ momen kritis balok prismatis
 gjhlm = nilai absolut dari momen terbesar sepanjang bentang tak terkekang
 gkm = momen nominal
 M_p = momen plastis
 M_x' = momen pada arah sumbu x setelah balok mengalami deformasi
 gjm = momen pada arah sumbu y setelah balok mengalami deformasi
 gjm = momen pada arah sumbu z setelah balok mengalami deformasi
 gkilm = momen kritis eksak untuk kondisi momen konstan
 n = jumlah segmen balok
 P = beban terpusat
 P_{cr} = beban terpusat kritis
 S_x = modulus penampang elastis arah sumbu kuat (sumbu x)
 Z_x = statis momen terhadap sumbu kuat
 b_f = dimensi lebar dari profil sayap lebar
 d = jarak antara tepi terluar kedua sayap / flens profil sayap lebar
 h = panjang bersih *web* ($d - 2t_f - 2r$)
 h_0 = selisih ukuran tinggi profil dengan tebal flens ($d - t_f$)
 r = jari-jari *fillet* profil sayap lebar
 r_{ls} = besaran penampang dalam perhitungan panjang L_r
 r_y = jari-jari girasi sumbu lemah
 t_f = tebal sayap *-euaj*.
 t_w = tebal badan (*web*)
 w = beban merata

- \equiv beban merata kritis
- x = panjang segmen balok diukur dari tumpuan balok
- Δz = panjang segmen balok
- α = sudut kemiringan balok
- β = koefisien pengali momen
- λ = rasio lebar-tebal
- λ_p = batas atas rasio lebar-tebal untuk kompak
- λ_r = batas atas rasio lebar-tebal untuk non kompak
- ν = angka poisson = (*poisson's ratio*)
- ϕ = sudut rotasi
- θ = $\tan\alpha$ = kemiringan balok
- AISC = American Institute of Steel Construction
- FDM = Finite Difference Method
- LTB = Lateral Torsional Buckling

DAFTAR GAMBAR

1.1	B r i d g t h a p e.r.e.d.....	1
1.2	G a bFlrea.m.e.....	1
2.1	Dimensi dari Penampang Profil Sayap Lebar	10
2.2	Panjang Tak Terkekang (L_b)	11
2.3	Kekangan Lateral	11
2.4	Kekangan Torsi	12
2.5	Momen Nominal Tekuk Torsi Lateral	13
2.6	Pengaruh lokasi beban	16
2.7	Tekuk Torsi Lateral balok sederhana penampang I kondisi lentur Murni... 18	
2.8	Komponen M_x pada sumbu x',y' dan z'	20
2.9	Formula C_b	30
3.1	Balok Ekivalen	32
3.2	Fornulasi Beda Hingga	33
3.3	Contoh pembagian balok prismatis 1 Segmen dengan pendekatan beda Hingga	37
3.4	Contoh pembagian balok non prismatis 5 segmen dengan pendekatan beda Hingga	42
3.5	Diagram momen lentur balok dengan beban terpusat	

di tengah bentang	43
3.6 Diagram momen lentur balok dengan beban merata sepanjang bentang	45
3.7 Diagram momen lentur balok dengan beban momen pada kedua ujung balok	47
4.1 Balok IWF prismatis dengan beban Momen Konstan	51
4.2 Kurva momen kritis balok IWF prismatis dengan beban momen lentur konstan profil IWF 800x200x11x17	52
4.3 Kurva momen kritis balok IWF prismatis dengan beban momen lentur konstan profil IWF 1000x200x11x17	53
4.4 Balok IWF prismatis dengan beban terpusat di tengah bentang	55
4.5 Kurva momen kritis balok prismatis akibat beban terpusat di tengah bentang profil IWF 800x200x11x17	56
4.6 Kurva momen kritis balok prismatis akibat beban terpusat di tengah bentang profil IWF 1000x200x11x17	57
4.7 Balok IWF prismatis dengan beban merata sepanjang bentang	59
4.8 Momen kritis balok IWF prismatis dengan beban merata sepanjang balok profil IWF 800x200x11x17	60
4.9 Momen kritis balok IWF prismatis dengan beban merata sepanjang balok profil IWF 1000x200x11x17	61
4.10 Balok IWF prismatis dengan beban momen bervariasi linier	63
4.11 Momen kritis balok IWF prismatis dengan beban momen ujung M- β M balok profil IWF 800x200x11x17	64

4.12 Momen kritis balok IWF prismatis dengan beban momen ujung M- β M balok profil IWF 1000x200x11x17	65
4.13 Nilai-nilai C_b untuk kondisi M- β M profil IWF 800x200x11x17	67
4.14 Nilai-nilai C_b untuk kondisi M- β M profil IWF 1000x200x11x17	68
4.15 Balok IWF non prismatis dengan beban Momen Konstan	69
4.16 Momen kritis balok IWF non prismatis dengan beban momen konstan sepanjang balok profil IWF 800-200x200x11x17, $L=8m$, $\tan\alpha=0.0375$	70
4.17 Momen kritis balok IWF non rismatis dengan beban momen konstan sepanjang balok profil IWF 800-400x200x11x17, $L=8m$, $\tan\alpha=0.025$	71
4.18 Momen kritis balok IWF non prismatis dengan beban momen konstan sepanjang balok profil IWF 800-600x200x11x17, $L=8m$, $\tan\alpha=0.0125$	72
4.19 Momen kritis balok IWF non prismatis dengan beban momen konstan sepanjang balok profil IWF 1000-100x200x11x17, $L=12m$, $\tan\alpha=0.0375$	73
4.20 Momen kritis balok IWF non prismatis dengan beban momen konstan sepanjang balok profil IWF 1000-400x200x11x17, $L=12m$, $\tan\alpha=0.025$	74
4.21 Momen kritis balok IWF non prismatis dengan beban momen konstan sepanjang balok profil IWF 1000-700x200x11x17, $L=12m$, $\tan\alpha=0.0125$	75
4.22 Kurva eigenvalue balok profil IWF 800-400x200x11x17, $L=8m$, $\tan\alpha=0.025$ dengan pembagian 10 segmen, momen konstan	76
4.23 Grafik rasio momen kritis $C_p (=M_{cr}/M_{cr})$ dengan kemiringan balok $\tan\alpha$ akibat Momen Konstan, $L=8m$ dan $L=12m$	78
4.24 Balok IWF non prismatis dengan beban Terpusat di tengah bentang	79

4.25 Momen kritis balok IWF non prismatis dengan beban terpusat di tengah bentang profil IWF 800-200x200x11x17, L=8m, $\tan\alpha=0.0375$	80
4.26 Momen kritis balok non prismatis beban terpusat di tengah bentang profil IWF 800-400x200x11x17, L=8m, $\tan\alpha=0.025$	81
4.27 Momen kritis balok non prismatis beban terpusat di tengah bentang profil IWF 800-600x200x11x17, L=8m, $\tan\alpha=0.0125$	82
4.28 Momen kritis balok non prismatis dengan beban terpusat di tengah bentang profil IWF 1000-100x200x11x17, L=12m, $\tan\alpha=0.0375$	83
4.29 Momen kritis balok non prismatis beban terpusat di tengah bentang profil IWF 1000-400x200x11x17, L=12m, $\tan\alpha=0.025$	84
4.30 Momen kritis balok non prismatis beban terpusat di tengah bentang profil IWF 1000-700x200x11x17, L=12m, $\tan\alpha=0.0125$	85
4.31 Kurva eigenvalue balok profil IWF 800-200x200x11x17, L=8m, $\tan\alpha=0.025$ dengan pembagian 10 segmen, beban terpusat	86
4.32 Grafik rasio momen kritis $C_p (=M_{cr'}/M_{cr})$ dengan kemiringan balok $\tan\alpha$ akibat akibat Beban Terpusat; L=8m dan L=12m	89
4.33 Balok IWF non prismatis dengan Beban Merata sepanjang bentang	90
4.34 Momen kritis balok non prismatis beban merata sepanjang bentang profil IWF 800-200x200x11x17, L=8m, $\tan\alpha=0.0375$	91
4.35 Momen kritis balok non prismatis beban merata sepanjang bentang profil IWF 800-400x200x11x17, L=8m, $\tan\alpha=0.025$	92
4.36 Momen kritis balok non prismatis beban merata sepanjang bentang profil IWF 800-600x200x11x17, L=8m, $\tan\alpha=0.0125$	93

4.37 Momen kritis balok non prismatis beban merata sepanjang bentang profil IWF 1000-100x200x11x17, L=12m, $\tan\alpha=0.0375$	94
4.38 Momen kritis balok non prismatis beban merata sepanjang bentang profil IWF 1000-400x200x11x17, L=12m, $\tan\alpha=0.025$	95
4.39 Momen kritis balok non prismatis beban merata sepanjang bentang profil IWF 1000-700x200x11x17, L=12m, $\tan\alpha=0.0125$	96
4.40 Kurva eigenvalue balok profil IWF 800-200x200x11x17, L=8m, $\tan\alpha=0.0125$ dengan pembagian 10 segmen, beban merata	97
4.41 Grafik rasio momen kritis $C_p (=M_{cr}/M_{cr})$ dengan kemiringan balok $\tan\alpha$ akibat Beban Merata; L=8m dan L=12m	99
4.42 Balok IWF non prismatis dengan beban Momen bervariasi linier	100
4.43 Momen kritis balok non prismatis beban momen ujung yang bervariasi linier, profil IWF 800-200x200x11x17, $\beta=0.5$, L=8m, $\tan\alpha=0.0375$	101
4.44 Momen kritis balok non prismatis beban momen ujung yang bervariasi linier, profil IWF 800-400x200x11x17, $\beta=0.5$, L=8m, $\tan\alpha=0.025$	102
4.45 Momen kritis balok non prismatis beban momen ujung yang bervariasi linier, profil IWF 800-600x200x11x17, $\beta=0.5$, L=8m, $\tan\alpha=0.0125$	103
4.46 Momen kritis balok non prismatis beban momen ujung yang bervariasi linier, profil IWF 1000-100x200x11x17, $\beta=0.5$, L=10m, $\tan\alpha=0.0375$	104
4.47 Momen kritis balok non prismatis beban momen ujung yang bervariasi linier, profil IWF 1000-400x200x11x17, $\beta=0.5$, L=10m, $\tan\alpha=0.025$	105
4.48 Momen kritis balok non prismatis beban momen ujung yang bervariasi linier, profil IWF 1000-700x200x11x17, $\beta=0.5$, L=10m, $\tan\alpha=0.0125$	106

4.49 Kurva eigenvalue balok profil IWF 800-200x200x11x17, L=8m, $\tan\alpha=0.0375$ dengan pembagian 10 segmen, $M-0.5M$	107
4.50 Grafik rasio momen kritis $C_p (=M_{cr'}/M_{cr})$ dengan kemiringan balok $\tan\alpha$ akibat $M-\beta M$; $\beta=-1$, $L=8m$ dan $L=12m$	110
4.51 Grafik rasio momen kritis $C_p (=M_{cr'}/M_{cr})$ dengan kemiringan balok $\tan\alpha$ akibat $M-\beta M$; $\beta=-0.5$, $L=8m$ dan $L=12m$	111
4.52 Grafik rasio momen kritis $C_p (=M_{cr'}/M_{cr})$ dengan kemiringan balok $\tan\alpha$ akibat $M-\beta M$; $\beta=0$, $L=8m$ dan $L=12m$	112
4.53 Grafik rasio momen kritis $C_p (=M_{cr'}/M_{cr})$ dengan kemiringan balok $\tan\alpha$ akibat $M-\beta M$; $\beta=0.5$, $L=8m$ dan $L=12m$	113
4.54 Grafik rasio momen kritis $C_p (=M_{cr'}/M_{cr})$ dengan kemiringan balok $\tan\alpha$ akibat $M-\beta M$; $\beta=1$, $L=8m$ dan $L=12m$	114
4.55 Grafik rasio momen kritis $C_p (=M_{cr'}/M_{cr})$ rata-rata dengan kemiringan balok $\tan\alpha$ balok non prismatis dengan beban momen konstan	116
4.56 Grafik rasio momen kritis $C_p (=M_{cr'}/M_{cr})$ rata-rata dengan kemiringan balok $\tan\alpha$ balok non prismatis dengan beban terpusat di tengah bentang	118
4.57 Grafik rasio momen kritis $C_p (=M_{cr'}/M_{cr})$ rata-rata dengan kemiringan balok $\tan\alpha$ balok non prismatis dengan beban momen merata	120

DAFTAR TABEL

2.1 Batas-batas λ_p dan λ_r Profil Sayap Lebar (Hot - rolled ...) 9
4.1 Momen kritis balok prismatis akibat momen konstan sepanjang balok profil IWF 800x200x11x17 52
4.2 Momen kritis balok prismatis akibat momen konstan sepanjang balok profil IWF 1000x200x11x17 53
4.3 Perbandingan momen kritis FDM (M_{cr}) dan solusi eksak (M_{0cr}) Momen Lentur Konstan 54
4.4 Momen kritis balok prismatis akibat beban terpusat di tengah bentang profil IWF 800x200x11x17 56
4.5 Momen kritis balok prismatis akibat beban terpusat di tengah bentang profil IWF 1000x200x11x17 57
4.6 Perbandingan momen kritis akibat beban terpusat 58
4.7 Nilai koefisien C_b akibat beban terpusat 58
4.8 Perbandingan nilai C_b F D dengan C_b AISC 2005 untuk kondisi Beban Terpusat profil tCo 800X200X11X17 59
4.9 Perbandingan nilai C_b F D dengan C_b AISC 2005 untuk kondisi Beban Terpusat profil tCo 1000X200X11X17 59
4.10 Momen kritis beban merata balok prismatis sepanjang balok profil IWF

4.11 Momen kritis beban merata balok prismatis sepanjang balok profil IWF	60
Baaceae8 .8e.m' o..... p.fupp14.s'oB'o	
4.12 Nilai koefisien Cb akibat beban	62
4.13 Perbandingan nilai Cb F D Mengen Cb AISC 2005 untuk kondisi Beban	
Merata profil $\Delta z = \Delta z^{34} \Delta z^{34}$ trelleBTMA..... d≤A	
4.14 Perbandingan nilai Cb F D Mengen Cb AISC 2005 untuk kondisi Beban	
Merata $\beta_{i,1}$ uCo lorrail/tm o sfsr.3upnlo.....	
4.15 Momen kritis balok prismatis momen ujung M-βM balok profil IWF	
naaeraae.8eBm'o ip.o..... .0'o	
4.16 Momen kritis balok prismatis momen ujung M-βM balok profil IWF	
aIII(.II(ii (,, o_r	
4.17 Nilai koefisien Cb (balok prismatis) akibat beban momen M-βM	66
4.18 Perbandingan nilai Cb F D Mengen Cb AISC 2005 untuk kondisi M-βM	
$\beta_{i,b}$.uC naaraall.m'o ..o..... .o	
4.19 Perbandingan nilai Cb F D Mengen Cb AISC 2005 untuk kondisi	
M-βM profil IWF 1000X200X11X17	66
4.20 Perbedaan nilai Cb (FDM) dengan Cb AISC 2005 kondisi M-βM	
profil IWF 800X200X11X17	67
4.21 Perbedaan nilai Cb (FDM) dengan Cb AISC 2005 kondisi M-βM	
profil IWF 1000x200x11x17	68
4.22 Momen kritis balok non prismatis momen konstan sepanjang balok profil	
IWF naa.raaeoaae8 .8emr donay'o7.i.asaMm.o ..00X1	

4.23 Momen kritis balok non prismatis momen konstan sepanjang balok profil IWF 800-400x200x11x17, L=8m, $\tan\alpha=0.025$	71
4.24 Momen kritis balok non prismatis momen konstan sepanjang balok profil IWF 800-600x200x11x17, L=8m, $\tan\alpha=0.0125$	72
4.25 Momen kritis balok non prismatis momen konstan sepanjang balok profil IWF 1000-100x200x11x17, L=12m, $\tan\alpha=0.0375$	73
4.26 Momen kritis balok non prismatis momen konstan sepanjang balok profil IWF 1000-400x200x11x17, L=12m, $\tan\alpha=0.025$	74
4.27 Momen kritis balok non prismatis momen konstan sepanjang balok profil IWF 1000-700x200x11x17, L=12m, $\tan\alpha=0.0125$	75
4.28 Eigenvalue balok profil IWF 800-400x200x11x17, beban momen konstan sepanjang balok, L=8m, $\tan\alpha=0.025$ dengan pembagian 10 segmen	76
4.29 Nilai koefisien Cp akibat momen konstan sepanjang balok, $\tan\alpha=0.0375$	77
4.30 Nilai koefisien Cp akibat momen konstan sepanjang balok, $\tan\alpha=0.025$	77
4.31 Nilai koefisien Cp akibat momen konstan sepanjang balok, $\tan\alpha=0.0125$	77
4.32 Hubungan kemiringan Balok $\tan\alpha$ dengan Cp ($=M_{cr}'/M_{cr}$) akibat momen konstan sepanjang bentang balok	78
4.33 Momen kritis balok non prismatis beban terpusat di tengah bentang profil IWF 800-200x200x11x17, L=8m, $\tan\alpha=0.0375$	80
4.34 Momen kritis balok non prismatis beban terpusat di tengah bentang profil	

IWF nbbk0bberbbet tetmNⁿjiaio 7i5d.b.br.o..... nB'o

4.35 Momen kritis balok non prismatis beban terpusat di tengah bentang profil

IWF nbbkjbb erbbeBtetmy'on.traC'o 7ind.bsbtr.'o nr'o

4.36 Momen kritis balok non prismatis beban terpusat di tengah bentang profil

IWF Bbbb(tbberbbettetmi'o n.Bra5'o 7l5d.bpb.m.o.....,φ Ah.psd.οn.o

4.37 Momen kritis balok non prismatis beban terpusat di tengah bentang profil

IWF t'obbb.0bberbbettetmr'o n.traNo 7x fd.b.br.'o p...o.....o.4.οn0'o

4.38 Momen kritis balok non prismatis beban terpusat di tengah bentang profil

IWF ibbb mbberbbeile.m.'o -lra,o Flndai...rj'o up z.s Ci.rsh4.οs.....

4.39 a) 20.x=2 balok profil IWF nbbHjbbeanbbei.e.m.y'oF-7.5t1o gk5min tonlnaC'o

7l5d lb.bir.'o Fk5tx T'dkagl.Kl5'o tb'on tak.'o ...o ..

4.40 Nilai koefisien Cp akibat Beban Terpusat di tengah bentang balok,

$\tan\alpha=0.0375$ 87

4.41 Nilai koefisien Cp akibat Beban Terpusat di tengah bentang balok,

$\tan\alpha=0.0250$ 87

4.42 Nilai koefisien Cp akibat Beban Terpusat di tengah bentang

Balok, $\tan\alpha=0.125$ 87

4.43 Hubungan kemiringan Balok tan α dengan Cp ($=M_{cr}'/M_{cr}$) akibat beban

terpusat di tengah bentang 88

4.44 Momen kritis balok non prismatis beban merata sepanjang bentang profil

IWF nbbkrbberbbe.ie.m='o n.na,o FlndabXb.mj'oβ.4..Hm.ssS/p.3i:j.o.....

4.45 Momen kritis balok non prismatis beban merata sepanjang bentang profil

IWF nbbk0bberbbe.e.mr'o n.nay'o 7ind.bsbr.'o s:o.....ias:our'o

4.46 Momen kritis balok non prisma tis beban merata sepanjang bentang profil	
IWF nII oII(,II(B(B, ariesifiiil.e li,d s.....	I
4.47 Momen kritis balok non prisma tis beban merata sepanjang bentang profil	
IWF rIII HII(,II(BB(B,gari i,ifit .eli h,d „,kWFIEn,Cl.....	IM
4.48 Momen kritis balok non prisma tis beban merata sepanjang bentang profil	
IWF rIIIgIII(,II(B(B, ari H,ifT),.el.I,d	PW.W Id
4.49 Momen kritis balok non prisma tis beban merata sepanjang bentang profil	
IWF rIIIIt,II(,II(B (: ,mariAv,igTl,A v,d :ta,CPjuPPr,C.:,kk.....	•
• • • • balokprofil IWF nII ,II(,II(p(p,mi l,h, i, in r i, ,K l,, i),KmariAsig,Alnh,d „,K , i,K ,i Ir,Kl,, l	I,
4.51 Nilai koefisien Cp akibat Beban Merata sepanjang balok, tan α =0.0375	98
4.52 Nilai koefisien Cp akibat Beban Merata sepanjang balok, tan α =0.0250	98
4.53 Nilai koefisien Cp akibat Beban Merata sepanjang balok, tan α =0.125	98
4.54 Hubungan kemiringan Balok tan α dengan Cp (=M _{cr'} /M _{cr}) akibat Beban Merata	99
4.55 Momen kritis balok non prisma tis beban momen ujung yang bervariasi linier profil IWF nII,II(,II(H,H,fi I.dgri cnifitileI h,d HIH	
4.56 Momen kritis balok non prisma tis beban momen ujung yang bervariasi linier profil IWF nII MII(,II(,H(,,g IldaniAsiT „,cI I,d j..... HI,	
4.57 Momen kritis balok non prisma tis beban momen ujung yang bervariasi	

linier profil IWF naa5 aajo aa je seerr'o .rpa.C.dnWr.on x Td ripis PCo3.4isivo ea.o	
4.58 Momen kritis balok non prismatis beban momen ujung yang bervariasi	
linier profil IWF saakeaajoo ae sees rr'ozao Clezeo Wr.on. Tdib.aMm. o.o ea0.o	
4.59 Momen kritis balok non prismatis beban momen ujung yang bervariasi	
linier profil IWF eaaak0aaaj ooajeejeri o rai Cr.ol.eo W.o ii fid oao C.o .o.... saC.o	
4.60 Momen kritis balok non prismatis beban momen ujung yang bervariasi	
linier profil IWF eaaakraajo ae eserr'o .oa o Cleeo Wi o riifidoahaeo Cvis.o ea.o	
0..e.o (D.kfil.k.o balok profil IWF naa9oaa soa asseeerr'o 9k9lfrdW2WkfrdA.f.i.o ilfi.o 9kii.iD..K q-fi-ki=lnW.o ilfi.a 3afkr Cf kfilii.o.kWg.Kifio saak.Wkfilj.H.s'oeai'o	
4.62 Nilai koefisien Cp akibat momen ujung M- β M, tan α =0.0375	108
4.63 Nilai koefisien Cp akibat momen ujung M- β M, tan α =0.025	108
4.64 Nilai koefisien Cp akibat momen ujung M- β M, tan α =0.125	109
4.65 Hubungan kemiringan Balok tan α dengan Cp ($=M_{cr}'/M_{cr}$) akibat momen ujung M- β M, $\beta=-1$	110
4.66 Hubungan kemiringan Balok tan α dengan Cp ($=M_{cr}'/M_{cr}$) akibat momen ujung M- β M, $\beta=-0.5$	111
4.67 Hubungan kemiringan Balok tan α dengan Cp ($=M_{cr}'/M_{cr}$) akibat momen ujung M- β M, $\beta=0$	112
4.68 Hubungan kemiringan Balok tan α dengan Cp ($=M_{cr}'/M_{cr}$) akibat momen ujung M- β M, $\beta=0.5$	113
4.69 Hubungan kemiringan Balok tan α dengan Cp ($=M_{cr}'/M_{cr}$) akibat momen ujung M- β M, $\beta=1$	114
4.70 Hubungan rasio momen kritis rata-rata dengan kemiringan balok tan α	

untuk balok non prismatis dengan beban momen konstan116

4.71 Hubungan rasio momen kritis rata-rata dangan kemiringan balok tanpa
balok non prismatis dengan beban terpusat di tengah bentang 117

4.72 Hubungan rasio momen kritis rata-rata dangan kemiringan balok tanpa
untuk balok non prismatis dengan beban momen merata 119

4.73 .g'o Fin'a'.o gi82t'o it Dgin'f'i l).o 0fi.i.t.i.o n)id1P'oar..p.o.....'000.o

4.74 .g'o Fi5'o..o gi82t'o it-gin'f'i a).o 0fi.i.t.5o nind oapao.'op.o.....'000.o

4.75 .g'o F)L'a'.o giP2t'o it Dgin'f'i l).o 0fi.i.t.No n)Td.r. lo. ('a.....s.fipss.s4h.d..4.o.o

anro'o..oliP2t'o it Dgi7'kgin.krn.lvinN'o ni5d.a.a.r.o.is3.. p...p.4.uni:o.....oaro

aprr'o..oliP2t'o it Dgin'kgi5.ki.lvin:i'o ni=doa.ao...o ..oaro

airn'o..oliP2t'o it Igin'kgin.ki.lvin:ion)Ldca.ato.o ..ro.....'to.o

airn'o..olkgin'o lk Winir'onind.a.r...o ..o.....to'o

apna'o..olkgin'kkiin'r'onindoro a.r. 3:o.....sh)o'o

ai.m'o..olk'ogin'dk Winir'o 7ln'dara. 'r'o'p.o.....'00.'00

ai.no'o.g'o Fin'a'.o giP2t'o it-gin'o lkgi=o l2Wk=o i,ln.o 1(laC'o nind v.a.r.p.o ..o.on.o

ai.n.o .g'o Fin'a'.o giP2t'o it-gin'o lkgi=o l2Wk=o iMln.d'l'r'o nind.asao...o ..dom.o

ai..narag'o Fi5'o..o gi82t'o it-gin'o lkgin'o l2Wk=o ia1=.oak'l'r'o nind x.a.o.o ..ss..p4ss;β4..w'o

DAFTAR LAMPIRAN

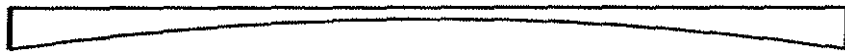
Lampiran 1 Perhitungan Momen Kritis penyelesaian eksak	135
Lampiran 2 Persamaan Momen Kritis Balok non Prismatis	141
Lampiran 3 Klasifikasi penampang untuk tekuk lokal	154
Lampiran 4 Program Fortran	156

BAB 1

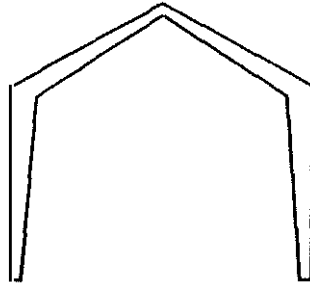
PENDAHULUAN

1.1 Latar Belakang

Balok non prismatis lazim digunakan untuk memperoleh bentuk struktur yang lebih efisien, sehingga menghasilkan struktur yang lebih ekonomis, selain itu juga ditinjau dari segi tampilan terlihat lebih indah, seperti yang digunakan pada struktur jembatan dengan penguatan di tumpuan (Lliafias riogs oFlalaas fiilaaln,s (2HkΔHm&1), rangkapayon)FLkafFka,(2HkΔHms 0.l.,s dan struktur lainnya.



Gambar 1.1 lJ1h6le(aiaeC6C6&1)C16CL



Gambar 1.2 Sel66l0Je76l

Balok non prismatis adalah balok yang ideal untuk menahan momen lentur yang bervariasi besarnya, oleh sebab itu kemampuan balok non prismatis dalam menerima beban dapat dimanfaatkan sepenuhnya jika ada metode desain yang akurat dan praktis digunakan.

Dalam hal ini digunakan balok baja profil IWF sayap lebar. Pada balok baja profil sayap lebar yang dibebani sehingga melentur pada sumbu kuat dapat terjadi beberapa kasus kegagalan. Salah satu kegagalan yang terjadi pada balok baja profil sayap lebar dengan penampang kompak adalah tekuk torsional (lateral torsion). Di mana balok melentur pada bidang lentur yang dilalui sumbu kuat, menekuk (pada bidang tegak lurus bidang lentur) pada sumbu lemah dan terpuntir. Hal ini terjadi apabila momen lentur yang terjadi akibat beban-beban yang bekerja melebihi momen kritis tekuk torsional.

Oleh karena itu perlu diketahui kapan balok akan mengalami tekuk torsional. Momen tersebut disebut momen kritis tekuk torsional. Untuk menentukan besarnya momen kritis, diambil sebagai suatu patokan dasar yaitu momen konstan sepanjang bentang balok (momen seragam) diantara dua tumpuan lateral balok. Persamaan untuk mencari momen kritis tersebut dapat diturunkan secara matematis untuk kasus momen konstan sepanjang bentang balok (momen seragam).

Untuk menentukan besarnya momen kritis untuk kasus momen lentur tidak konstan, seperti akibat beban merata sepanjang balok, beban terpusat, momen ujung dengan distribusi momen lentur yang bervariasi secara linier, diperlukan suatu faktor yang disebut faktor momen ekivalen C_b yang dikalikan dengan

besarnya momen kritis akibat momen konstan (seragam) sepanjang balok. Hal ini dilakukan untuk mempermudah analisis perhitungan.

Perhitungan untuk mencari koefisien C_b diperlukan untuk mencari besarnya momen kritis balok dengan momen tidak seragam untuk balok prismatis, untuk perhitungan momen kritis balok dengan momen tidak seragam untuk balok non prismatis, diperlukan suatu koefisien C_p yang dikalikan dengan besarnya momen kritis akibat momen tidak konstan (seragam) dari balok prismatis.

Persamaan untuk mencari momen kritis akibat momen konstan / seragam pada balok prisma bisa didapatkan melalui penurunan rumus matematis, untuk balok non prisma belum ada penurunan rumus matematisnya, sehingga diperlukan metode pendekatan yang efisien untuk menghitung nilai M_{cr} .

Karena analisis dari balok non prisma cukup kompleks, hal ini telah mendorong para peneliti untuk mengembangkan solusi yang efisien untuk mencari momen kritis balok non prisma, dimana pada umumnya metoda yang digunakan adalah metoda elemen hingga, diantaranya: studi tekuk torsional elastis dari balok non prisma dilakukan oleh Kitipornchai & Trahair (1972,1975) dengan menurunkan persamaan keseimbangan untuk balok profil sayap lebar untuk penampang yang mempunyai dua sumbu simetri dan kemudian dikembangkan untuk penampang yang mempunyai satu sumbu simetri dengan metoda elemen hingga. Berikutnya studi analisis stabilitas beda hingga linier untuk balok non prisma dikembangkan oleh Yang & Yau (1987), Wekezer (1985) dan Rajasekaran (1994a,b) menganalisis tekuk torsional dari balok non prisma berpenampang tipis dengan menggunakan metoda elemen hingga.

Dalam tesis ini untuk analisis tekuk torsi lateral digunakan metode beda hingga untuk menghitung besarnya momen kritis M_{cr}' dari balok non prismatis.

1.2 Inti Permasalahan

Dalam banyak literatur maupun peraturan ada pembahasan untuk memperoleh besarnya momen kritis tekuk torsi lateral elastis untuk balok primatis dengan berbagai kondisi pembebanan. Pada balok non prismatis rumus momen kritis yang diperoleh dari perhitungan balok prismatis tidak berlaku. Oleh karena itu perlu dikembangkan metode yang efisien untuk menghitung nilai momen kritis (M_{cr}') untuk balok yang nonprismatis. Dalam tesis ini dicoba untuk menghitung nilai momen kritis untuk balok nonprismatis dengan menggunakan metode beda hingga.

1.3 Tujuan Penelitian

Tujuan dari penelitian ini adalah menghitung besarnya momen kritis dari suatu balok non prismatis dengan beban yang diberikan berupa momen ujung, dengan distribusi momen lentur berasal dari berbagai pembebanan antara lain, momen konstan, momen yang bervariasi secara linier, momen akibat beban terpusat dan momen lentur akibat beban merata.

1.4 Pembatasan Masalah

Beberapa batasan yang dilakukan adalah:

1. Balok yang ditinjau adalah balok dengan tumpuan sederhana (simple support). Rotasi puntir pada tumpuan ditahan tetapi warping pada tumpuan tidak ditahan.
2. Diantara kedua tumpuan, rotasi puntir tidak ditahan.
3. Beban yang diberikan berupa momen ujung dengan distribusi momen lentur konstan sepanjang balok, momen ujung dengan distribusi momen lentur yang bervariasi secara linier, beban merata sepanjang bentang dan beban terpusat di tengah bentang.
4. Ketidakprismatisan berasal dari perubahan linier tinggi web. Lebar flens konstan sepanjang balok.
5. Metoda yang digunakan untuk analisa tekuk torsi lateral (lateral buckling) adalah metoda beda hingga finite element method = FDM.
6. Material baja yang digunakan dianggap bersifat elastis, isotropis dan homogen pada saat tekuk torsi lateral terjadi.
7. Penampang memenuhi syarat kompak.
8. Beban bekerja melalui pusat berat.

1.5 Metode Penelitian

Analisis dilakukan dengan langkah-langkah sebagai berikut:

1. Menghitung momen kritis eksak untuk kasus momen konstan sepanjang balok (M_{0cr}).

2. Menghitung momen kritis M_{cr} (dengan *FDM*) untuk balok prismatis dengan beban yang diberikan berupa momen ujung dengan distribusi momen lentur konstan sepanjang balok, momen ujung dengan distribusi momen lentur yang bervariasi secara linier, beban merata sepanjang bentang dan beban terpusat di tengah bentang.
3. Ditinjau beberapa buah balok non prismatis dengan suatu ketinggian yang ditentukan. Parameter yang ditinjau adalah panjang balok, tinggi balok, ketidakprimatisan dan beban.
4. Parameter panjang balok diambil dua macam, yaitu 8 m dan 12 m.
5. Tinggi balok diambil tinggi 80 cm untuk panjang 8 m dan 100 cm untuk panjang 12 m.
6. Parameter ketidakprismatisan dinyatakan dalam sudut kemiringan tepi web, diambil tangen sudut 0.375, 0.25, 0.125 dan 0. Tangen sudut 0 berarti balok tersebut prismatis.
7. Beban yang diberikan untuk balok non prismatis berupa momen ujung dengan distribusi momen lentur konstan sepanjang balok, momen ujung dengan distribusi momen lentur yang bervariasi secara linier, dimana momen ujung untuk tinggi penampang yang lebih besar diambil sebesar M dan momen ujung yang lain adalah sebesar βM dengan variasi β diambil sebesar -1, -0.5, 0, 0.5, 1, untuk beban merata sepanjang bentang dan beban terpusat di tengah bentang tidak ada variasi.
8. Menghitung momen kritis M_{cr}' (dengan *FDM*) untuk balok non prismatis dengan beban yang diberikan berupa momen ujung dengan distribusi momen lentur konstan sepanjang balok, momen ujung dengan distribusi

momen lentur yang bervariasi secara linier, beban merata sepanjang bentang dan beban terpusat di tengah bentang dengan berbagai kemiringan balok $\tan\alpha = 0.0375, 0.025$ dan 0.0125 .

9. Menghitung faktor momen ekivalen (C_p) dengan membagi nilai momen kritis M_{cr}' (dengan FDM) balok non prismatis (akibat beban merata sepanjang bentang, beban terpusat di tengah bentang dan momen ujung dengan distribusi momen lentur yang bervariasi secara linier) dengan momen kritis M_{cr} balok prismatis akibat beban merata sepanjang bentang, beban terpusat di tengah bentang dan momen ujung dengan distribusi momen lentur yang bervariasi secara linier (dengan FDM).